



## آماده‌سازی پوشش‌های نانو $TiO_2$ دوپ شده با هر دو یون نیتروژن و سریم و بررسی خواص فتوکاتالیستی آنها

نسرين احمدی<sup>\*</sup>، على نعمتی<sup>۲</sup>، مهران صولتی هشجین<sup>۳</sup>، کاوه ارزانی<sup>۴</sup> و على جمشیدی<sup>۵</sup>

۱- دانشگاه آزاد اسلامی واحد علوم تحقیقات تهران، دانشکده مهندسی مواد، تهران، ایران

۲- دانشگاه صنعتی شریف، دانشکده مهندسی مواد

۳- دانشگاه صنعتی امیرکبیر، دانشکده مهندسی پزشکی

۴- دانشگاه آزاد اسلامی واحد علوم و تحقیقات تهران، دانشکده مهندسی مواد

۵- دانشگاه آزاد اسلامی، واحد میبد، دانشکده مهندسی مواد، میبد، ایران

تاریخ ثبت اولیه: ۱۳۹۰/۰۷/۱۵، تاریخ دریافت نسخه اصلاح شده: ۱۳۹۰/۰۹/۱۹، تاریخ پذیرش قطعی: ۱۳۹۰/۱۰/۰۸

### چکیده

پوشش‌های نانو  $TiO_2$  خالص و دوپ شده با سریم و نیتروژن به روش سل-ژل و غوطه‌وری بر روی سطح شیشه-سرامیک آی پی اس ایمپرس ۲ ایجاد شد. نمونه‌ها به مدت ۲ ساعت در دمای  $550^{\circ}C$  عملیات حرارتی شدند. سپس ساختار بلوری نمونه‌ها با استفاده از تکنیک پراش پرتو ایکس (XRD) و ریزساختار نمونه‌ها با استفاده از میکروسکوپ نیروی اتمی (AFM) مورد مطالعه قرار گرفت و خواص نوری آنها به کمک طیف سنج جذبی انعکاسی UV-Vis و در پایان اثر فتوکاتالیستی از طریق اندازه‌گیری میزان تخریب و تجزیه متیل اورانز بر اثر تابش نور (طول موج  $\lambda=366\text{ nm}$ ) مورد بررسی قرار گرفت. نتایج نشان داد که با دوپ سریم و نیتروژن در ساختار  $TiO_2$ ، فاز اصلی نمونه‌ها آناتاز است و با افزایش میزان دوپ اندازه بلورکها کاهش می‌یابد. از طرف دیگر جذب نور  $TiO_2$  دوپ شده با افزایش دوپ سریم و نیتروژن، افزایش می‌یابد و دوپ سریم باعث می‌شود طیف جذبی به سمت محدوده مرئی حرکت کند و مشخص گردید که پوشش‌های  $TiO_2$  دوپ شده فعالیت فتوکاتالیستی قوی‌تری نسبت به  $TiO_2$  خالص دارند. نتایج آزمایش‌ها نشان داد که دوپ سریم (با نسبت درصد سریم به تیتانیوم: ۱٪) و دوپ نیتروژن (با نسبت مقدار اوره به تتران بوتیل تیتانات: ۰/۲۵) در ساختار  $TiO_2$  خواص فتوکاتالیستی فاز آناتاز  $TiO_2$  را بهبود می‌دهد.

واژه‌های کلیدی: فتوکاتالیست، سل-ژل، آناتاز، شیشه-سرامیک.

۱- مقدمه

فقط در محدوده UV فعال می‌شود، از طرف دیگر ساختار آن بگونه‌ای است که زوج الکترون-حفره تهییج شده توسط نور UV به راحتی باهم جفت می‌شوند و این سبب می‌شود خواص فتوکاتالیستی  $TiO_2$  کاهش یابد [۴-۶]. دوپ فلزات، غیرفلزات و عناصر نادر خاکی روش‌هایی هستند که برای بهبود خواص فتوکاتالیستی دی اکسید تیتانیوم به کار می‌روند [۵,۷]. اخیرا دوپ

دی اکسید تیتانیوم ( $TiO_2$ ) به علت خواص برجسته‌ای از جمله پایداری شیمیایی و فیزیکی خوب، غیرسمی بودن، فعالیت فتوکاتالیستی زیاد و جذب کافی نور و ترازهای انرژی خاص به عنوان یک فتوکاتالیست مؤثر شناخته شده است [۱-۳]. اما  $TiO_2$  به علت گاف انرژی بزرگ

\* عهده‌دار مکاتبات: نسرين احمدی

نشانی: تهران، دانشگاه آزاد اسلامی، واحد علوم و تحقیقات، دانشکده مهندسی مواد  
تلفن: ۰۲۱-۴۴۸۶۵۱۵۴، دورنگار: ۰۲۱-۴۴۸۰۴۱۸۱، پست الکترونیکی: ahmadi.nasrin@hotmail.com

و محلول سوم با سرعت یک قطره بر ثانیه و با همزدن با سرعت ۵۰۰ rpm به ترکیب محلول ۱ و ۲ اضافه شد و طی ۲ ساعت با سرعت ۷۰۰ rpm آن را همزده، تا سل پایداری بدست آید. سپس پایه با سرعت ۰/۵ mm/s درون سل مورد نظر غوطه‌ور با همان سرعت از آن خارج شد. نمونه‌ها پس از خشک شدن در دسیکاتور مرطوب، درون کوره الکتریکی در دمای ۵۵۰ °C و طی ۲ ساعت عملیات حرارتی شدند. با تغییر در مقادیر اولیه نیترات سریم ۶ آبه و اوره میزان دوب نیتروژن و سریم درون ساختار  $TiO_2$  را تغییر داده و ۴ نمونه مختلف به شرح ذکر شده در جدول ۱ ساخته شد.

جدول ۱: معرفی نمونه‌ها و فرمولاسیون آنها.

| Ce/Ti% | Urea/TBT | $TiO_2$ | نمونه |
|--------|----------|---------|-------|
| ۰      | ۰        | $TiO_2$ | A     |
| ٪۰/۳   | ٪/۲۵     | $TiO_2$ | B     |
| ٪۱     | ٪/۲۵     | $TiO_2$ | C     |
| ٪۱     | ۱        | $TiO_2$ | D     |

## ۲-۱-۱-۲- شناسایی

سپس نمونه‌های پوشش داده شده تحت آنالیزهای گوناگون قرار گرفتند. پراش پرتو X توسط دستگاه XRD Philips و ریزساختار نمونه‌ها با استفاده از میکروسکوپ نیروی اتمی (AFM) Auto probe (CP) مدل Sachtler Scientific Instrument Park Park تهیه شد. طیف سنجی UV-Vis توسط دستگاه JASCO V 570 انجام گردید.

## ۲-۱-۲- آزمایش فعالیت فتوکاتالیستی

برای اندازه‌گیری میزان خاصیت فتوکاتالیستی نمونه‌های لایه نازک نانو  $TiO_2$  و اثر دوب N و Ce در آنها میزان تخریب متیل اورانز با غلظت ۵ ppm را توسط دستگاه طیف سنج UV-Vis مدل Cary 100 Varian مبنای اندازه‌گیری قرار داده و ۷۰ cc متیل اورانز را بر روی سطح هر نمونه با اندازه  $cm^2$  ۱ ریخته و تحت نور UV با طول موج ۳۶۶ nm و فاصله ۴۰ cm قرار داده و هر ۲۰ دقیقه مقدار cc از آن را برداشته و طیف‌سنجی کرده، و این کار

غیرفلزات از جمله C, F, N, O در کریستال آناتاز گزارش شده است [۳]. مطالعاتی نیز در زمینه دوب عنصر نادر خاکی مثل Ce, Eu, Nd, Ln و غیره در ساختار  $TiO_2$  وجود داشته، که فعالیت در محدوده مرئی را گزارش می‌کنند [۲,۳,۷].

در تحقیق حاضر، اثر دوب همزمان N و Ce درون ساختار  $TiO_2$  مورد بررسی قرار گرفته است. دوب Ce به عنوان فلز واسطه (به علت تراز ۴f خاص) لبه جذب را به سمت محدوده نور مرئی جابجا می‌کند [۴,۸,۹] و دوب N با ایجاد تراز فرعی (به علت مشارکت تراز p در واکنش) گاف انرژی را باریک کرده و لبه جذب را در محدوده نور مرئی گسترش می‌دهد [۳,۹].

به این طریق می‌توان امیدوار بود که دوب شده با Ce و N به یک فتوکاتالیست مفید در محدوده مرئی تبدیل شود. فیلم‌های نازک فتوکاتالیستی نسبت به فتوکاتالیست‌های پودری پر کاربردتر می‌باشند. با روش پوشش‌دهی سل-ژل می‌توان ریزساختار، ترکیب و ضخامت فیلم را با تغییر در ترکیب محلول و شرایط رسوب‌دهی به راحتی کنترل کرد و فیلم‌هایی با سطح ویژه بزرگ را فراهم کرد، که دستیابی به خواص فتوکاتالیستی را مساعد و مطلوب می‌سازد [۱۰,۱۱]. هدف از انجام این تحقیق دستیابی به یک پوشش دارای ساختار نانو  $TiO_2$  با خواص فتوکاتالیستی مناسب است.

## ۲- فعالیت‌های تجربی

### ۲-۱-۲- آماده‌سازی

برای ساخت نمونه‌ها از روش سل-ژل (غوطه‌وری) استفاده شد. پایه مصرفی برای پوشش‌دهی از جنس شیشه-سرامیک با نام تجاری آی پی اس ایمپرس ۲ است. برای تهیه سل N-Ce-TiO<sub>2</sub> ابتدا ترا ان بوتیل تیتانات ساخت شرکت مرک Merck (٪/۹۸) در نیمی از اتانول (خالص مرک) مورد نیاز به عنوان حلحل شد.

در بشر دوم، اسید نیتریک مرک Merck (٪/۶۳) و آب دی یونیزه در ٪/۵ اتانول حل شده و در بشر سوم نیترات سریم ۶ آبه محصول شرکت آلفا ایزر Alfa Aesar (با خلوص بالای٪/۹۹/۵) و اوره ساخت شرکت اکروس Acros (با خلوص بالای٪/۹۹/۵) را در نیم دیگری از اتانول حل کرده

$$X = 100 / (1 + 1.256(I_R / I_A)) \quad (1)$$

X: درصد فاز آناتاز  
 $I_A$ : شدت پیک متناظر با صفحه (۱۰۱) آناتاز  
 $I_B$ : شدت پیک متناظر با صفحه (۱۱۰) روتایل

$$D = k \frac{\lambda}{\beta} \cos \theta \quad (2)$$

k: ثابت شر (Scherrer) ( $k = 0.9$ )  
 $\lambda = 0.1541 \text{ nm}$   
 $\theta$ : نصف زاویه پراش

D: اندازه کریستال بر حسب آنگستروم  
 $\beta$ : عرض نصف ارتفاع پیک پراش مربوط به صفحه مورد نظر (بر حسب رادیان)

جدول ۲: درصد و اندازه بلورک‌های فاز آناتاز نمونه‌ها.

| نمونه | درصد فاز آناتاز | اندازه بلورک آناتاز (nm) |
|-------|-----------------|--------------------------|
| A     | % ۸۷/۹۳         | (۱۰۱): ۴۱<br>(۲۰۰): ۱۳   |
| B     | % ۹۱/۳۹         | (۱۰۱): ۳۳<br>(۲۰۰): ۱۳   |
| C     | % ۹۳/۱۰         | (۱۰۱): ۲۸<br>(۲۰۰): ۱۱   |
| D     | % ۹۰/۵۱         | (۱۰۱): ۲۲<br>(۲۰۰): ۱۰   |

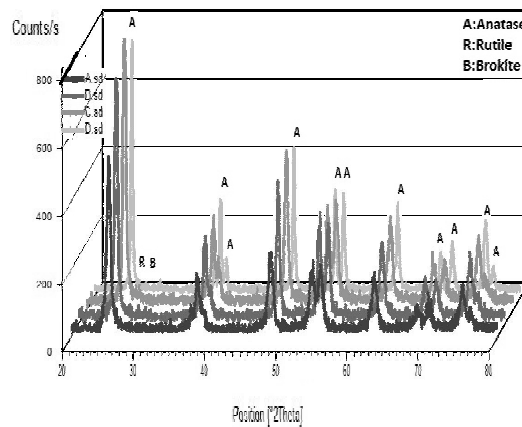
از طرف دیگر طبق نتایج جدول ۲ و شکل ۲ (ب) با دوب Ce و N به سیستم و با افزایش دوب اندازه بلورک‌ها کاهش می‌یابد. دوب سریم به کنترل اندازه بلورک‌ها منجر می‌گردد. زیرا شعاع یون  $\text{Ce}^{3+}$  و  $\text{Ce}^{4+}$  خیلی بزرگ‌تر و D از شعاع یون  $\text{Ti}^{4+}$  است، بنابراین مشکل است که وارد شبکه کریستالی  $\text{TiO}_2$  شود و جایگزین  $\text{Ti}^{4+}$  گردد. بنابراین یون‌های سریم بیشتر تمایل به تشکیل کمپلکس با اکسیژن سطح  $\text{TiO}_2$  را دارند و بنابراین رشد کریستال  $\text{TiO}_2$  را متوقف می‌کنند [۱۱]. از طرف دیگر طبق الگوهای پراش عرض پیک صفحه کریستالی (۱۰۱) با اضافه کردن دوب نیتروژن پهنه می‌شود و این سبب کاهش اندازه بلورک‌ها می‌گردد [۱۱].

تا ۱۲۰ دقیقه ادامه می‌یابد، تا اثر افروندنی‌های سریم و نیتروژن بر خواص نمونه‌های نانو  $\text{TiO}_2$  بررسی گردد.

### ۳- نتایج و بحث

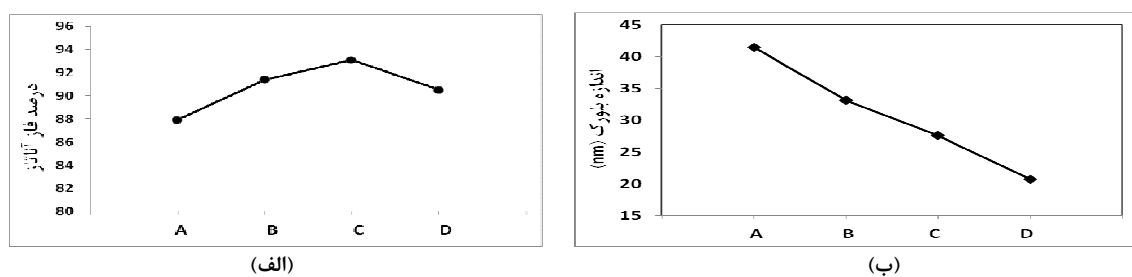
#### ۱-۳- بررسی ساختار کریستالی و

نمونه‌ها را تحت آنالیز XRD قرار داده و نتایج آنها بررسی شد. همانگونه که مشاهده می‌شود هیچ پیکی به غیر از آناتاز و روتایل دیده نمی‌شود که نشان‌دهنده این امر است که Ce و N دوب شده وارد ساختار کریستالی  $\text{TiO}_2$  شده‌اند [۴،۸].

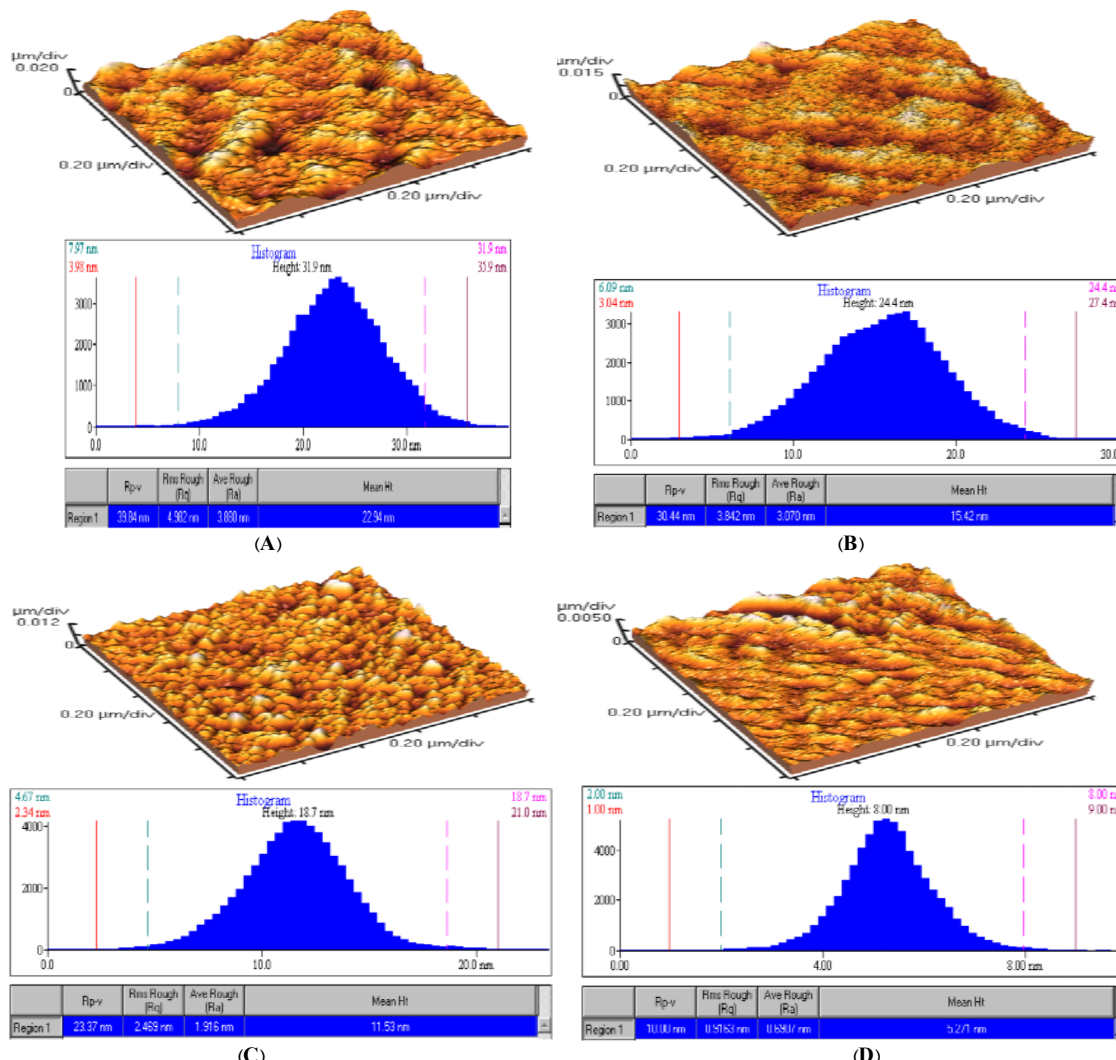


شکل ۱: الگوهای پراش پرتونی X نمونه‌های A و C, B و A

طبق نتایج جدول ۲ و شکل ۲ (الف) دیده می‌شود که در کل نمونه‌هایی که حاوی Ce و N می‌باشند، فاز آناتاز بیشتر از نمونه  $\text{TiO}_2$  خالص (A) است. زیرا دوب سریم در سیستم استحاله آناتاز به روتایل را به تأخیر می‌اندازد. زیرا  $\text{Ce}^{4+}$  به علت شعاع یونی بزرگ‌تر نمی‌تواند جانشین  $\text{Ti}^{4+}$  شود و از این رو Ce کریستال آناتاز را احاطه می‌کند و در سطح مشترک  $\text{Ce}^{4+}$ - $\text{Ti}^{4+}$  توسط  $\text{Ce}^{4+}$  جایگزین شده و مواضع اکتاهدرال ایجاد می‌کند. واکنش بین Ti تتراهدرال و اکتاهدرال مانع از استحاله فازی آناتاز به روتایل می‌گردد و با دوب N در سیستم حتی در دماهای بالای عملیات حرارتی نیز می‌توان فاز آناتاز در سیستم داشت [۱۱،۱۲،۱۳]. برای محاسبه درصد فاز آناتاز از فرمول ۱ [۱۱،۱۲،۱۳] و برای محاسبه اندازه بلورک آناتاز از فرمول ۲ استفاده شد [۱۱،۸].



شکل ۲: (الف) روند تغییرات درصد فاز آناناز و (ب) روند تغییرات اندازه بلورک‌های نمونه‌های A, B, C, D.



شکل ۳: ریزساختار سطح توسط میکروسکوپ نیروی اتمی (AFM) نمونه‌ها (A) نمونه خالص، (B) ۰٪ N, ۲۵٪ Ce - TiO<sub>2</sub>, (C) ۰٪ N, ۳۰٪ Ce - TiO<sub>2</sub> و (D) ۰٪ N, ۴۰٪ Ce - TiO<sub>2</sub>)

گرفتند. در کل دیده می‌شود که همه نمونه‌های دوب شده توسط N و Ce نسبت به نمونه TiO<sub>2</sub> خالص (A) ذرات ریزتری با زبری سطح کمتری دارند. زیرا همانگونه که گفته شد با دوب N و Ce (به خصوص Ce) درون ساختار

۲-۳- بررسی ریزساختار سطح توسط (AFM)  
برای بررسی ریزساختار سطح، نمونه‌ها که به صورت پوشش بر روی شیشه-سرامیک هستند، توسط میکروسکوپ نیروی اتمی با مدت مماسی مورد ارزیابی قرار

افزایش می‌دهد. از طرف دیگر مشاهده می‌شود که در نمونه‌های دوب شده لبه جذب به سمت طول موج‌های قرمز جابجا می‌شود. این امر مربوط به دوب Ce و به تله انداختن الکترون توسط جفت  $Ce^{3+}$ ,  $Ce^{4+}$  و تشکیل جای خالی اکسیژن در ساختار  $TiO_2$  می‌باشد. در کل واکنش‌های نوری در نمونه‌های دوب شده بهبود می‌یابد [۱۷، ۱۵، ۱۴].

#### ۴-۳- بررسی خاصیت فتوکاتالیستی

برای بررسی و مقایسه میزان فعالیت فتوکاتالیستی نمونه‌های پوششی نانو  $TiO_2$  خالص و اثر دوب N و Ce در آنها، میزان تخریب متیل اورانٹ طبق آزمایش بیان شده توسط دستگاه طیف سنج UV-Vis اندازه‌گیری شد. برای مقایسه این نمونه‌ها طبق فرمول (۳) ثابت سرعت واکنش تخریب (k) محاسبه می‌شود [۴]:

$$-1n\left(\frac{c}{c_0}\right) = kt \quad (3)$$

K: ثابت سرعت واکنش

: زمان (min)

$c_0$ : غلظت اولیه متیل اورانٹ

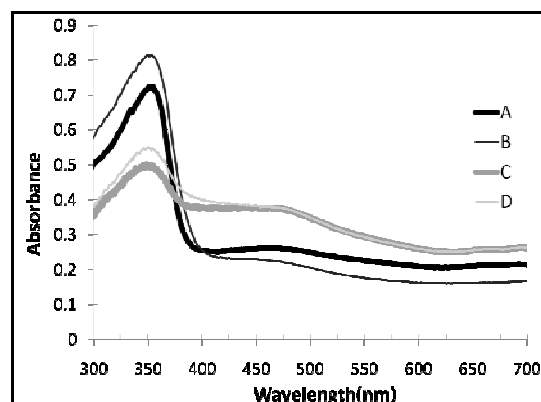
t: غلظت متیل اورانٹ در زمان

طبق شکل ۵ نمونه A سرعت تخریب کمتری نسبت به سایر نمونه‌ها دارد. زیرا حضور Ce و N در سیستم می‌توانند خاصیت فتوکاتالیستی را افزایش دهند. عملکرد این دو به این صورت است که نیتروژن به علت جایگزینی بخشی از O و تراز ۲p نیمه پر باند ممنوعه را باریک کرده و جذب نور را افزایش می‌دهد. در اصل با دوب N جفت الکترون حفره بیشتری تولید و تهییج می‌گردد [۱۸، ۱۶]. از طرف دیگر با دوب سریم به علت آرایش الکترونی ویژه ۴f آن و نقش به سزای  $Ce^{3+}$  و  $Ce^{4+}$  در به تله‌اندازی الکترون و ایجاد هیدروکسیل روی سطح  $TiO_2$ ، از ترکیب مجدد جفت الکترون- حفره جلوگیری کرده و طول عمر آنها افزایش می‌یابد.

$TiO_2$  رشد ذرات متوقف شده و با افزایش دوب N ذرات روی سطح ریزتر می‌شوند. نتایج طبق شکل ۳ نشان می‌دهد که نمونه A (خالص) دانه‌های متوسط ۳۱ nm و سطح یکنواختی با زبری  $3/8$  nm دارد و نمونه B ذراتی کوچک‌تر حدود ۲۴ nm با زبری ۳ nm دارد. اما دانه‌ها کمی آگلومره شده‌اند. نمونه C سطح کاملاً یکنواخت با ذرات متوسط ۱۸ nm با زبری  $1/9$  nm دارد. می‌توان مشاهده کرد که با افزایش دوب سریم رشد ذرات و زبری سطح کاهش می‌یابد و افزایش دوب نیتروژن در نمونه D سبب می‌شود ذرات سطح به ۸ nm و زبری آنها به  $0/6$  nm کاهش یابد. اما سطح یکنواختی ایجاد نمی‌کند و ذرات آگلومره شده هستند.

#### ۳-۳- بررسی طیف انعکاسی- جذبی UV-Vis

برای انجام این آنالیز سطح قطعات شیشه- سرامیکی پوشش داده شده توسط دستگاه طیفسنج UV-Vis بررسی شد. این آنالیز بر مبنای اندازه‌گیری میزان جذب نور توسط سطح نمونه انجام گرفته است.



شکل ۴: طیف جذب بر حسب طول موج نمونه‌ها.

طبق شکل ۴ مهمترین نکته این است که با افزایش دوب N در  $TiO_2$  جذب در محدوده مرئی (طول موج‌های ۴۰۰-۷۰۰ nm) بیشتر می‌شود. این تغییرات مربوط به سرعت بالای جذب نور مرئی توسط  $Ce^{3+}$  است. همچنین به علت دوب N و جایگزینی آن در بخشی از اکسیژن کریستال  $TiO_2$  و تراز ۲p نیمه پر آن، سطوح جدید انرژی ایجاد شده و این امر باند ممنوعه را باریک و جذب نور را

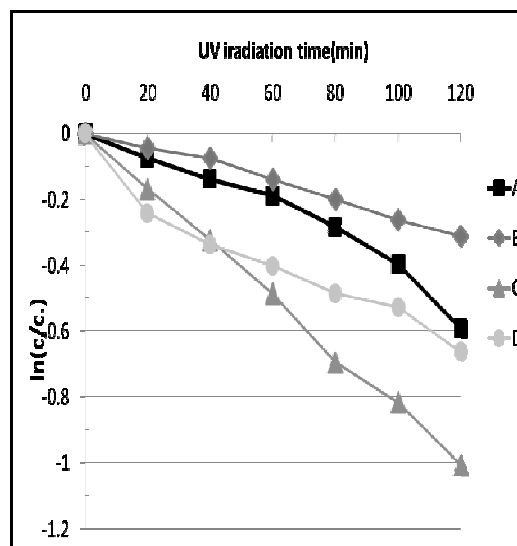
- فعالیت فتوکاتالیستی  $TiO_2$  با توجه به میزان تخریب متیل اورانز با دوب سریم و نیتروژن بهبود می‌یابد.
- بهترین خواص مربوط به نمونه  $TiO_2$  دوب شده توسط  $N$  و  $Ce$  با نسبت‌های  $=0/25$  (تترا بوتیل تیتانات / اورانز) و  $=1/1$  (تیتانیوم / سریم) می‌باشد.

### سپاسگزاری

وظیفه خود می‌دانیم از تمام افرادی که ما را در انجام این تحقیق یاری نمودند تشکر و قدردانی نماییم.

### مراجع

- [1] F. Caimei, G. Xiangdan, L. Zhenhai, S. Yanping, *Rare Metal Materials and Engineering*, **3**, 2005, 409.
- [2] G. Magesh, B. Wiswanathan, R.B. Wiswanath, T.K. Vardarajan, *Indian journal of chemistry*, **48**, 2009, 480.
- [3] Y. Nosaka, M. Matsushita, J. Nishino, *Science and Technology of Advanced Materials*, **48**, 2005, 143.
- [4] Y. Xu, H. Chen, Z. Zeng, B. Lei, *Journal of Applied surface Science*, **252**, 2006, 8565.
- [5] V. Stengl, S. Bakardjieva, N. Murafa, *Journal of Material Chemistry and Physics*, **114**, 2009, 217.
- [6] L. Song, X. Zeng, X. Zhang, *Energy Procedia*, **11**, 2011, 2162.
- [7] Q. Chen, D. Jiang, W. Shi, D. Wu, Y. Xu, *Journal of Applied Surface Science*, **255**, 2009, 7918.
- [8] C.H. Lio, X. Tang, C. Mo, Z. Qiang, *Journal of Solid state chemistry*, **181**, 2008, 913.
- [9] L. Zhao, Q. Jiang, L. Jianshe, *Journal of Applied Surface Science*, **254**, 2008, 4620.
- [10] A. Verma, A.G. Joshi, *Indian Journal of Chemistry*, **48**, 2009, 161.
- [11] S. Hun Oh, D. Jin Kim, S. Hong Hahn, *Materials letters*, **57**, 2003, 4151.
- [12] Y. Ma, J. Zhang, B. Tian, F. Chena, *Journal of Hazardous Materials*, **182**, 2010, 386.
- [13] R.A. Spurr, H. Myers, *Analytical Chemistry*, **29**, 1957, 760.
- [14] D.R. Acosta, A.I. Martinez, A.A. Lopez, C.R. Magana, *Journal of Molecular Catalysis*, **228**, 2005, 183.
- [15] J. Yang, J. Dai, J. Li, *Applied Surface Science*, **257**, 2011, 8965.
- [16] W. Mekprasart, W. Pecharapa, *Energy Procedia*, **9**, 2011, 509.
- [17] Z.L. Shi, C. Du, S.H. Yao, *Journal of the Taiwan Institute of Chemical Engineers*, **42**, 2011, 652.
- [18] S. Chainarong, L. Sikong, S. Pavasupree, S. Niyomwas, *Energy Procedia*, **9**, 2011, 418.
- [19] Y. Tao, T. Xin, Z. Lin, Y. Yuxin, C. Peng, J. Wei, *Journal of Chemical Engineering*, **157**, 2009, 86.



شکل ۵: سرعت تخریب متیل اورانز توسط هر کدام از نمونه‌ها.

اما اختلاف بین فتوکاتالیست‌های دوب شده به علت حضور نیتروژن و سریم و میزان فاز آناتاز متفاوت موجود در آنها است [۴، ۱۹]. همانطور که مشاهده می‌شود نمونه C به علت دوب بهینه و درصد فاز آناتاز بیشتر (۹۳/۱۰٪) نسبت به سایر نمونه‌ها متوسط ثابت سرعت تخریب بیشتری دارد و سریع‌تر از سایر نمونه‌ها متیل اورانز را تخریب می‌کند.

### ۴- نتیجه‌گیری

- الگوهای پراش پرتوی X نمونه‌ها نشان می‌دهد که با دوب سریم و نیتروژن در ساختار  $TiO_2$  درصد فاز آناتاز افزایش یافته و اندازه بلورک آناتاز کاهش می‌یابد.
- طبق تصاویر میکروسکوپ نیروی اتمی حضور سریم و نیتروژن ریزساختار سطح فتوکاتالیست  $TiO_2$  را بهبود بخشیده و ذرات سطح را ریز دانه‌تر می‌کند.
- با توجه به طیفسنجی UV-Vis، دوب سریم و نیتروژن در ساختار  $TiO_2$  جذب نور در محدوده مرئی را افزایش می‌دهد و لبه جذب را به سمت طول موج مرئی جابجا می‌کند.